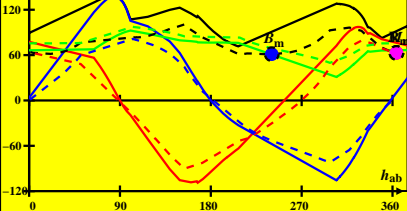


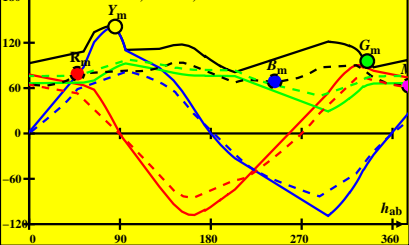
**CIE-Daten für antichromatische Optimalfarben von maximalem  
Buntwert für D65,  $X_{w,10}=88,6$ ,  $Y_m=520$  770,  $B_m=380$  520**

↑ CIELAB-Helligkeit  $L^*$  und radiale Buntheit  $a^*$ ,  $b^*$ ,  $C^*_{ab}$   
im Bereich  $Y=0,0$  bis 88,6

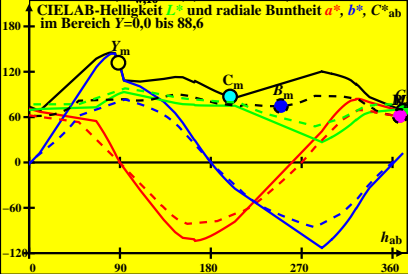


CIE-Daten für antichromatische Optimalfarben von maximalem  
Buntwert für D50,  $Y_{w,10}=88,6$ ,  $Y_m=520$  770,  $B_m=380$  520

↑ CIELAB-Helligkeit  $L^*$  und radiale Buntheit  $a^*$ ,  $b^*$ ,  $C^*_{ab}$   
im Bereich  $Y=0,0$  bis 88,6

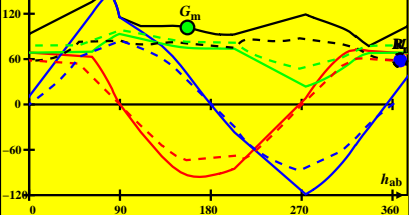


**CIE-Daten für antichromatische Optimalfarben von maximalem  
Buntwert für P40,  $Y_{m,10}=88,6$ ,  $Y_m=520$  770,  $B_m=380$  520**



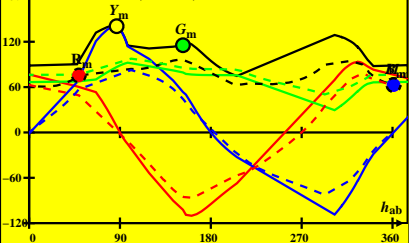
**CIE-Daten für antichromatische Optimalfarben von maximalem  
Buntwert für A00,  $X_{w,10}=88,6$ ,  $Y_m=520$  770,  $B_m=380$  520**

↑ CIELAB-Helligkeit  $L^*$  und radiale Buntheit  $a^*$ ,  $b^*$ ,  $C^*_{ab}$   
im Bereich  $Y=0,0$  bis 88,6



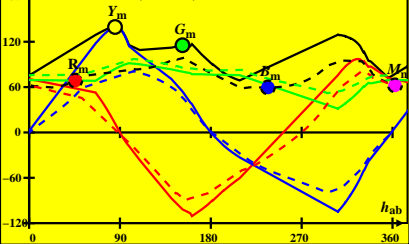
# CIE-Daten für antichromatische Optimalfarben von maximalem Buntwert für E00, $Y_{w,10}=88,6$ , $Y_m=520$ 770, $Bm=380$ 520

↑ CIELAB-Helligkeit  $L^*$  und radiale Buntheit  $a^*$ ,  $b^*$ ,  $C^*_{ab}$   
im Bereich  $Y=0,0$  bis 88,6



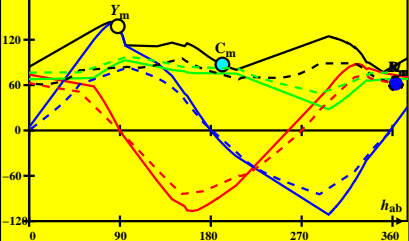
**CIE-Daten für antichromatische Optimalfarben von maximalem  
Buntwert für C00,  $X_{w,10}=88,6$ ,  $Y_m=520$  770,  $B_m=380$  520**

↑ CIELAB-Helligkeit  $L^*$  und radiale Buntheit  $a^*$ ,  $b^*$ ,  $C^*_{ab}$   
im Bereich  $Y=0,0$  bis 88,6



**CIE-Daten für antichromatische Optimalfarben von maximalem  
Buntwert für P00,  $Y_{m,10}=88,6$ ,  $Y_m=520$  770,  $B_m=380$  520**

↑ CIELAB-Helligkeit  $L^*$  und radiale Buntheit  $a^*$ ,  $b^*$ ,  $C^*_{ab}$   
im Bereich  $Y=0,0$  bis 88,6



# CIE-Daten für antichromatische Optimalfarben von maximalem Buntwert für Q00, $Y_{w,10}=88,6$ , $Y_m=520$ 770, $B_m=380$ 520

↑ CIELAB-Helligkeit  $L^*$  und radiale Buntheit  $a^*$ ,  $b^*$ ,  $C^*_{ab}$   
im Bereich  $Y=0,0$  bis 88,6

